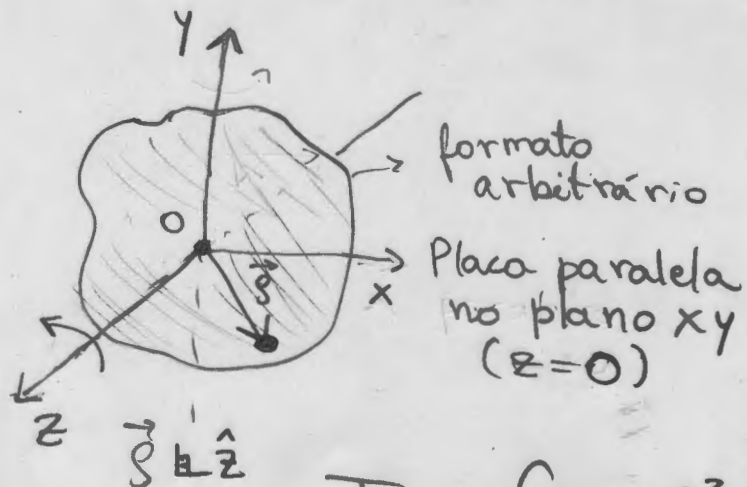


Ex.7 Lista 3  $\Rightarrow$  Teorema dos eixos perpendiculares

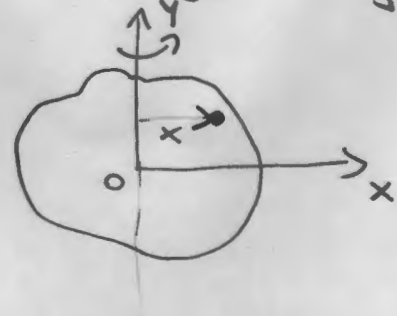


Como calculamos  $I_z$ ?

$$I_z = \int dm \vec{g}^2 = \int dm(x^2 + y^2) = \int dm x^2 + \int dm y^2$$

Mas veja que  $I_y = \int dm x^2 \Rightarrow$

e  $I_x = \int dm y^2 \Rightarrow$

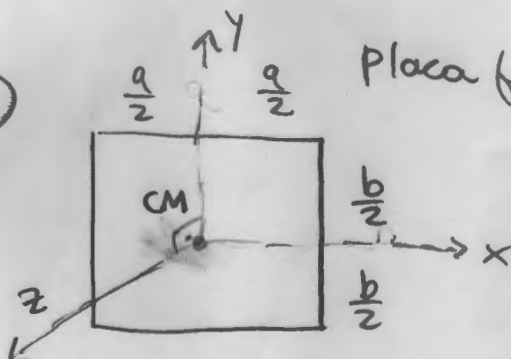


Então, vemos que

$$I_z = I_x + I_y$$

(Ex.8)

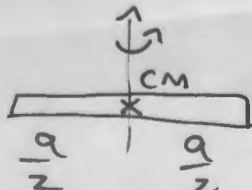
@



Placa fina, massa  $M$

$I_z$ ?

Lembrem que momento de inércia de uma barra



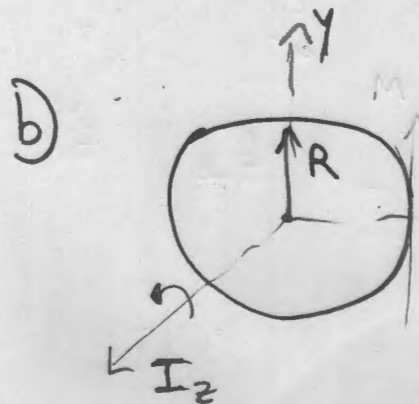
$$I = \frac{Ma^2}{12} \text{ e que}$$

isso vale também

para a placa delgada

Então  $I_y = \frac{Ma^2}{12}$ , Analogamente

$$I_x = \frac{Mb^2}{12} \Rightarrow \text{Então } I_z = \frac{M(a^2+b^2)}{12}.$$



b) Disco  $\rightarrow I_z = \frac{MR^2}{2}$

simetria  $\Rightarrow I_x = I_y$

teorema dos eixos perpendiculares

$$\Rightarrow I_z = I_x + I_y = 2I_x$$

$$\Rightarrow I_x = I_y = \frac{MR^2}{4} //$$

Note que o exercício a) poderia ser feito assim:

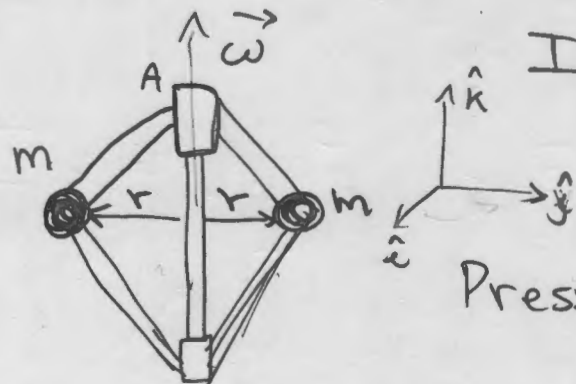
$$\Rightarrow \text{densidade uniforme} \Rightarrow \frac{M}{ab} = \frac{dm}{dxdy} \Rightarrow M = ab \int_{-\frac{a}{2}}^{\frac{a}{2}} dx \int_{-\frac{b}{2}}^{\frac{b}{2}} dy \frac{dm}{dxdy}$$

$$\text{Então, } I_z = \int dm(x^2+y^2) = 4 \int_0^{\frac{a}{2}} dx \int_0^{\frac{b}{2}} dy \frac{dm}{dxdy} (x^2+y^2)$$

$$= \frac{4M}{ab} \int_0^{\frac{a}{2}} dx \int_0^{\frac{b}{2}} dy (x^2+y^2) = \frac{M(a^2+b^2)}{12} //$$

Ex: 2 Lista 3

$$m = 0.2 \text{ kg}$$



$$\text{Inicial: } r_0 = 0.15 \text{ m}$$

$$\omega_0 = 6 \frac{\text{rad}}{\text{s}}, \vec{\omega}_0 = \omega_0 \hat{z}$$

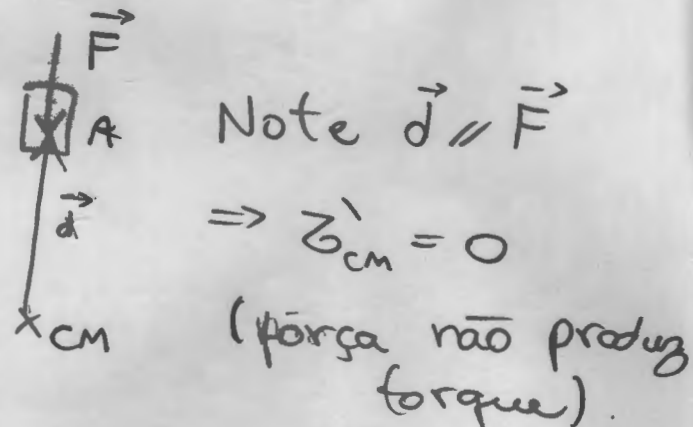
Pressiona-se A até que

$$r_0 \rightarrow r_1 = 0.25 \text{ m}.$$

a) Novo  $\omega_1$ ? Note que  $\vec{\omega}_1 \parallel \vec{\omega}_0 \parallel \hat{z} \rightarrow$  eixo de simetria. De fato, inicialmente

$$\vec{L} = I_0 \vec{\omega}_0, \quad I_0 = 2mr_0^2. \quad \text{Porém,}$$

ao fazermos força em A



Assim,  $\frac{d\vec{L}}{dt} = 0 \Rightarrow$  Depois de chegar em  $r_1$

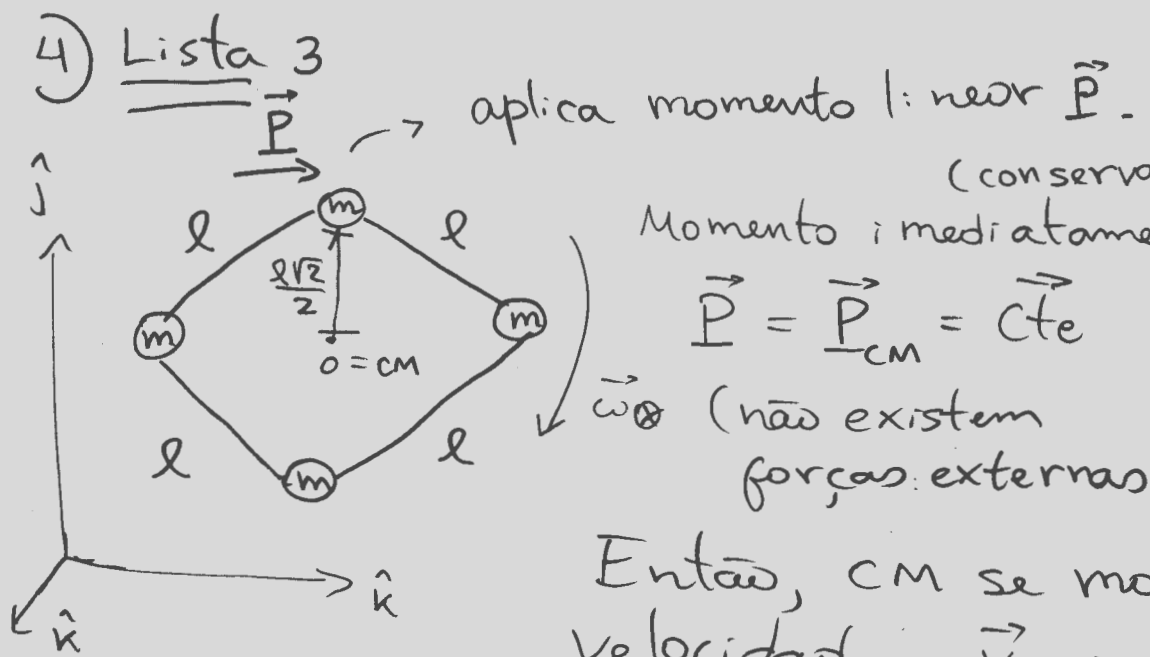
$$\vec{L} = I_0 \vec{\omega}_0 = I_1 \vec{\omega}_1 \Rightarrow 2mr_0^2 \omega_0 = 2mr_1^2 \omega_1$$

$$\Rightarrow \omega_1 = \left(\frac{r_0}{r_1}\right)^2 \omega_0 = 2,16 \frac{\text{rad}}{\text{s}}$$

b) Trabalho realizado  $\Rightarrow W = \frac{I_1 \omega_1^2}{2} - \frac{I_0 \omega_0^2}{2}$

$$= mr_1^2 \omega_1^2 - mr_0^2 \omega_0^2 = 0,2 \left( (0,25)^2 - (0,15)^2 \right) \frac{\text{J}}{\text{s}^2}$$

4) Lista 3



aplica momento linear  $\vec{P}$ .

(conservação de momento)

Momento imediatamente depois

$$\vec{P} = \vec{P}_{cm} = Cte \Rightarrow \vec{V}_{cm} = \frac{\vec{P}}{4m}$$

$\vec{\omega} \otimes$  (não existem forças externas)

Então, CM se move depois velocidade  $\vec{V}_{cm} = \frac{\vec{P}}{4m}$ .

Agora, claramente, esse quadrado vai girar com  $\vec{\omega} = \omega(-\hat{k})$  com relação ao CM. O momento de inércia é  $I_{cm} = 4m \left(\frac{\sqrt{2}l}{2}\right)^2 = 2ml^2$ .

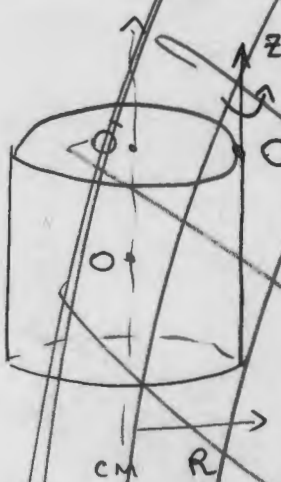
Depois da aplicação de  $\vec{P}$ , momento angular da massa m (onde aplicou  $\vec{P}$ ) com relação ao CM é  $\vec{L}' = |\vec{P}| \frac{l\sqrt{2}}{2} (-\hat{k})$

Mas não há forças depois e assim,  $\vec{L}'$ :

$$\Rightarrow \vec{L}' = I_{cm} \vec{\omega} = |\vec{P}| \frac{l\sqrt{2}}{2} (-\hat{k})$$

$$\Rightarrow \omega = \frac{|\vec{P}| \frac{l\sqrt{2}}{2}}{2ml^2} = \frac{|\vec{P}| \sqrt{2}}{4ml} //$$

~~Cilindro, em torno de uma geratriz~~

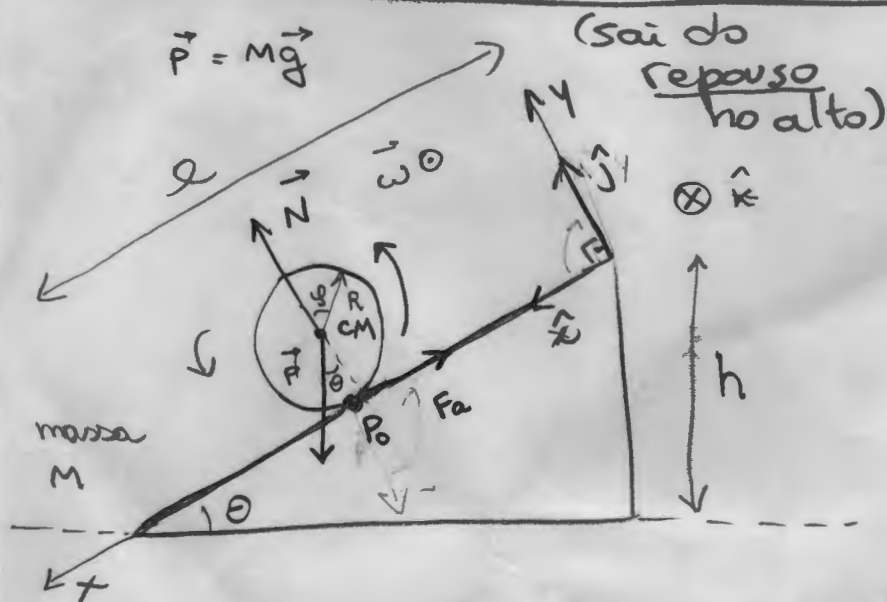


$$I = I_{CM} + MR^2 \approx \frac{3MR^2}{2}$$

~~Energia cinética:  $T = \frac{I_{CM}\omega^2}{2} + \frac{MV_{CM}^2}{2}$~~

(inclui rotações ao redor de um eixo que cruza CM e a translação do CM)

Ex: Rodamento sobre um plano inclinado



seção circular  
(anel, disco, esfera)

rola sem deslizar

IPC

$\vec{N}$  e  $\vec{P}$  não exercem torque em relação ao CM (distância até ele = 0)

Força de atrito  $\Rightarrow$  Exerce torque em relação ao centro CM  $\rightarrow$  Torque  $F \cdot R$  ( $T = FR$ ) termo

$\rightarrow$  esse é a soma de torques ex-

No caso de rolamento puro, Po pertence ao eixo instantâneo de rotação, de modo que está em repouso em cada instante. Logo, F<sub>a</sub> é força de  atrito estático!

Eq. mov. associada à translação do CM.

Em y:  $N - Mg \cos \theta = 0$

$\sum^a$  lei

Em x:  $Mg \sin \theta - F_a = M \ddot{x}$

$\vec{\alpha} = -\ddot{\varphi} \hat{k}$   
 $\vec{\omega} = -\omega \hat{k}$

Eq. Mov. para

Rotação ao redor do CM:

$F_a R = I_{cm} \ddot{\varphi}$

(Muito importante)



$s = R\dot{\varphi}$

$v_{cm} = \omega R$

Rolamento  
sem deslizamento  
(cada ponto toca o chão em intervalos de  $2\pi R$ )

Rolamento sem deslizamento (para CM)

$\dot{x} = R\dot{\varphi} \rightarrow \ddot{x} = R\ddot{\varphi}$

Conveniente,

$I_{cm} = MR^2$

(raio de giro)

Então,

$\ddot{\varphi} = \frac{\ddot{x}}{R} \rightarrow F_a = \frac{I_{cm} \ddot{x}}{R^2}$  assim.

$$M\ddot{x} = Mg \sin\theta - \frac{I_{CM} \overset{MK^2}{\cancel{\dot{x}}}}{R^2}$$

$$\ddot{x} \left(1 + \frac{k^2}{R^2}\right) = Mg \sin\theta \Rightarrow \ddot{x} = \frac{Mg \sin\theta}{\left(1 + \frac{k^2}{R^2}\right)}$$

(embora tenha atrito?)

⊗ Mov. ainda é unif. acelerado, não depende da

massa, mas a aceleração diminui pelo fator

$\frac{1}{\left(1 + \frac{k^2}{R^2}\right)} < 1$  → devido a energia cinética de rotação que tem que ser gerada.

$$\left(\frac{1}{1 + \frac{k^2}{R^2}}\right) = \begin{cases} \frac{1}{2} & \text{para anel} \\ \frac{2}{3} & \text{para cilindro} \\ \frac{5}{7} & \text{para esfera} \end{cases}$$

Na "corrida",  
sem deslizamento  
 $a_{esfera} > a_{cil} > a_{an}$

⊗ Qual velocidade ao atingir a base do plan

(comigo do repouso no alto).  
(aceleração cte)

$$V_{cm}^2 = 2al = 2\ddot{x}l = \frac{2gl \sin\theta R^2}{k^2 + R^2} = 2gh \frac{R^2}{k^2 + R^2}$$

já que  $h = l \sin\theta$ .

translação  
do CM

rotação  
ao redor  
do CM

$$\text{Energia cinética: } T = \frac{MV_{cm}^2}{2} + I_{CM} \dot{\theta}^2$$

(se k-  
volta  
caso o  
port

$$T = \frac{MV_{cm}^2}{2} + \frac{MK^2}{2} \frac{V_{cm}^2}{R^2} = \frac{MV_{cm}^2}{2} \left( 1 + \frac{K^2}{R^2} \right)$$

( $T = \frac{I\omega^2}{2}$  onde  $I = I_{cm} + MR^2$   
eixo instantâneo de rotação  
Steiner)

Agora, como  $V_{cm}^2 = 2gh \frac{R^2}{k^2 + R^2}$  Vemos que ao  
(na base) chegar na base

$T = Mgh$   → energia potencial inicial!

Conservação de energia! E a força de atrito?

Ela não realiza trabalho pois o ponto de aplicação da força de atrito ( $P_o$ ) está sobre o eixo instantâneo de rotação, ou seja, está em reposeo a cada instante. Logo,  $F_a$  não realiza trabalho!  
(é como se  $P_o$  "não se deslocasse"  
(velocidade relativa com relação ao chão é zero))

Ou seja,  $F_a$  apenas converte energia cinética de transladoção em rotação, o que freia o corpo (por conservação de energia). Nota que

$$\left( \frac{1}{1 + \frac{K^2}{R^2}} \right) < 1.$$

Lindo, não é mesmo? 😊



em cada de  
 $s = R\varphi$

$V = R\dot{\varphi}$  característica desse movimento!

Rolamento sem deslizamento nesse problema.

$$F_a = Mg \sin \theta \frac{k^2}{k^2 + R^2}$$

(usando  $F_a = \frac{I_{CM} \ddot{x}}{R^2}$ )

. Se  $\mu_e \rightarrow$  coeficiente de atrito estático

$$F_a \leq F_e = \mu_e |\vec{N}| = \mu_e Mg \cos \theta$$

Sem deslizamento  
(P. começaria a "andar")

$$Mg \sin \theta \frac{k^2}{k^2 + R^2} = \mu_e Mg \cos \theta \Rightarrow \tan \theta \leq \mu_e \cdot \frac{k^2 + R^2}{k^2}$$

$\tan \theta_r$

$\theta_r \rightarrow$  ângulo máximo para o qual é possível o rolamento sem deslizamento.

$$\tan \theta_r = \begin{cases} 2\mu_e & \rightarrow \text{anel} \\ 3\mu_e & \rightarrow \text{cilindro} \\ \frac{7}{2}\mu_e & \rightarrow \text{esfera} \end{cases}$$

esfera vai deslizar a partir de um âng. maior que o anel.

Um ponto P nesse rolamento sem deslizamento descreve uma ciclóide (trajetória)

$$\vec{V} = \vec{V}_{CM} + \vec{\omega} \times \vec{r}$$

posição  
sobre rolo